

나노 다이아몬드가 첨가된 초고분자량 폴리에틸렌의 마모특성에 대한 연구

임동필, 임대순

고려대학교 재료금속공학부

Tribological performance of UHMWPE reinforced with nano-diamond

Dong-Phill Lim, Dae-Soon Lim

Department of Materials Engineering, Korea University, Seoul, Korea

Abstract - Nano-diamonds were added to Ultra-high molecular weight polyethylene (UHMWPE) to improve the tribological properties of UHMWPE. Nano-diamonds which have a diameter of about 5-10nm were produced by detonation. UHMWPE/nano-diamonds composites were fabricated by hot pressing method. It is shown that friction coefficient was increased and wear resistance was improved as nano-diamonds were added to UHMWPE because of excellent mechanical properties of nano-diamonds located on UHMWPE surface.

Key Words : UHMWPE, Nano-diamond, Wear, Hip joint, Composite

1. 서 론

1960년대 이래로 ultra-high molecular weight polyethylene (UHMWPE)은 베어링, 기어, 캠, 메카니컬 셀, 인공 관절 등 내마모 특성이 요구되는 부품에 응용하기 위한 연구가 활발히 진행되었다[1,2]. 일반적인 고분자와 달리 UHMWPE은 마모 특성이 우수하고 생체 친화도가 좋으며 상대적인 부피 비 질량이 작기 때문에 인체에 이식시키기에는 매우 적절한 물질이었고 사실상 이러한 기계적 특성을 요구로 하는 인공 관절 분야에서 좋은 반응을 얻어왔다. 실제로 지금까지 다양한 마모 실험들이 전개되었고 그 결과는 만족스러웠다. 그러나 현대에 오면서 실험실

내에서의 결과와는 달리 UHMWPE의 이상 반응이 나타나기 시작했다. 특히 젊은 환자나 활동적인 환자의 경우 UHMWPE의 마모가 증가하였고 마모에 의해 발생하는 UHMWPE의 파편들이 체내에 남게 되면서 많은 문제를 일으키게 되었다[3,4].

이러한 UHMWPE의 실패로 인해 많은 연구자들은 이것의 마모·마찰 특성을 향상시키기 위한 노력을 하게 되었다. 마모를 적게 하면서 마찰을 최소화하기 위해서 과학자들은 제 2의 물질을 첨가하는 시도를 하고 있다[5,6]. 그리고 윤활 현상을 활발하게 하기 위하여 UHMWPE 마찰면의 roughness를 최소화 하는 실험과 UHMWPE 표면에 이온을 주입하는 실험 등이 전개되고 있다[7,8].

본 실험에서는 Nano-diamond첨가에 의한 UHMWPE의 마찰 특성 향상에 대하여 실험을 진행하였다. Nano-carbon재료 중 nano-diamond는 carbon간의 강한 공유 결합에 의해 높은 기계적 강도 및 Young's modulus 등 매우 우수한 기계적 특성을 나타내는 물질이며 이러한 특성은 여러 가지 복합체로서 응용될 때 물성 향상을 피할 수 있는 잠재적인 가능성이 있다[9]. 그리고 nano-diamond는 carbon으로 구성되어 있어서 이 물질의 물성에 비해 질량이 매우 낮은 물질이다. 또한, 다른 nano-carbon소재와는 달리 detonation방법으로 대량생산이 가능하므로 다른 첨가제에 의한 UHMWPE의 기계적 특성 향상을 기대하는 것보다 훨씬 우수한 장점들을 갖추고 있다고 할 수 있다. 본 실험에서는 Nano-diamond 첨가에 따른 UHMWPE의 마모·마찰 특성 변화를 알아봄으로써 UHMWPE과 Nano-diamond 복합체의 응용 가능성을 알아보고자 한다.

2. 실험 방법

UHMWPE의 강화재로 쓰인 상용 nano-diamond(nano-diamond center, Russia)는 steel container에서 TNT-RDX mixture를 사용, detonation법으로 합성되었다[11]. 이렇게 하여 얻어진 nano-diamond의 길이, 직경, 균일성을 SEM (Hitachi, S-4300)으로 관찰하였다. TEM 관찰을 위해서 nano-diamond를 carbon tetrachloride (CCl_4) 용액에 분산시킨 후 마이크로 탄소 그리드를 이용하여 nano-diamond를 그리드 위에 위치시켰다. HRTEM (H9000-NAR, Hitachi) 으로 300 kV, 0.18 nm의 해상도로 nano-diamond의 내부 구조를 확인하였다. nano-diamond의 결합구조를 알기 위해서 micro - Raman spectrophotometer (T64000,

Jobin Yvon)를 사용하여 Raman spectra를 얻었다.

합성된 nano-diamond는 분말 형태의 고상으로 존재하는 UHMWPE과 mixing을 하였는데 UHMWPE에 각각 0.1 wt%, 0.2 wt%, 0.5 wt%의 nano-diamond를 첨가하여 nano-diamond 첨가 시편 3개를 준비하였다. 그리고 비교 시편으로 nano-diamond를 첨가하지 않은 UHMWPE 시편도 준비하였다. 이 때 nano-diamond와 UHMWPE의 원활한 mixing을 위해 toluene을 첨가하는데 이는 비중이 가벼운 nano-diamond의 액상내 응집을 막고 UHMWPE에 균질하게 섞이게 하는 효과를 준다. 이렇게 준비된 재료는 ultrasonic bath에서 약 1시간 정도 두어 균질하게 mixing 하였다. 그 후 후드 안에 이를 정도 방치하여 액체인 toluene을 모두 증발시켰다. 이러한 방법으로 mixing된 시편 재료를 hot press에서 성형을 하였다. hot press의 온도는 180 °C로 하였고 압력은 25 MPa, 그리고 성형 시간은 1시간으로 하여 60×60×2 mm 크기의 시편을 제작하였다. 마모실험을 위하여 15×15 mm의 작은 시편으로 cutting 후 에탄올에 넣어 초음파세척기에서 cleaning 하였다. 마모·마찰 실험은 본 실험실에서 제작된 ball-on-disc 형태의 마모시험기를 사용하였다. 이 장치의 개략도를 Fig. 1에 나타내었다. 지름이 30 cm이고, 높이가 10 cm 인 분위기를 조절할 수 있는 chamber가 있고, 그 속에 DC motor에 의해 회전되는 판을 부착하였다. 이 판 위에 시편을 부착하고, 그 위에 상대재로 사용된 ball을 장착하였다. load는 상대재인 ball 위로 가할 수 있도록 하였다. 상대재로 사용된 ball은 hot press로 제작된 질화규소 상용볼(NBD100, Norton)로 직경이 6.35mm인 것을 사용하였다. 회전하는 판의 회전수는 5000 rpm 까지 변화시킬 수

있는 DC motor를 사용하였다.

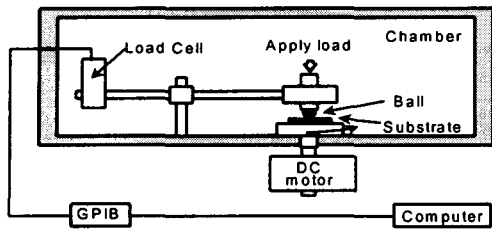


Fig. 1. Schematic diagram of wear tester.

외부에서 가해진 load에 따라 시편과 ball 사이의 마찰력으로 인해 발생하는 tangential force를 120 g 까지 감지하는 load cell로 변위를 측정하여, 이를 General Purpose Interface Bus-board (GPIB)를 통해 컴퓨터에 저장하게 하였다. 실험조건은 Normal load는 5 N, 회전속도는 0.3 m/s로 7200 초 동안 실험하였다. 그리고 실험 전후에 시편의 질량을 측정하여 실험에 의해 발생되는 마모량을 계산하였다. 시편의 마모부위는 주사전자현미경 (SEM)을 이용하여 관찰하였다.

3. 실험 결과 및 고찰

Nano-diamond의 HRTEM image를 Fig. 2에 나타내었다. Fig. 2(a)를 살펴보면 각 nano-diamond의 직경은 약 5-10nm이며 비교적 균일한 크기와 형상임을 알 수 있다. Fig 2(b)는 TEM dark field image로서 각 입자들이 cubic diamond형태임을 나타내고 있다.[10]

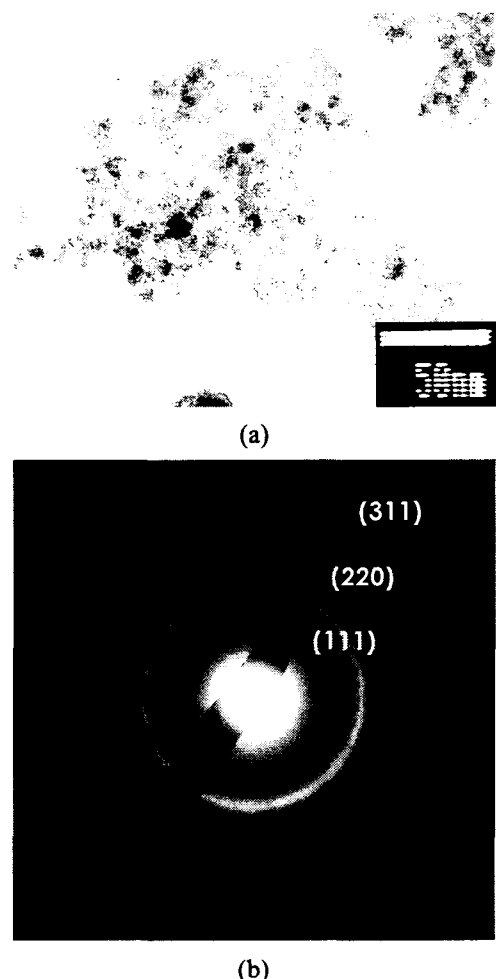


Fig. 2. (a) TEM image of nano-diamonds.
(b) Dark field image of nano-diamond.

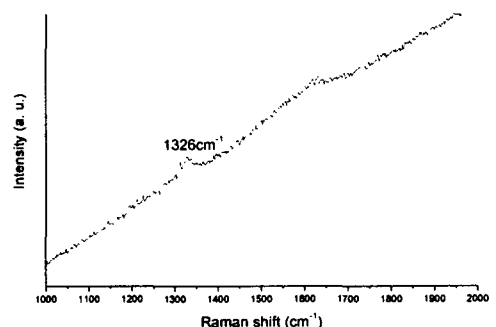


Fig. 3. Raman spectra of the nano-diamond.

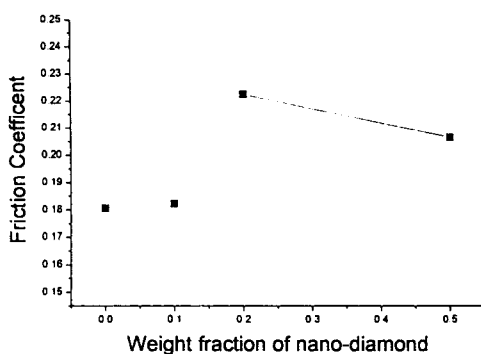


Fig. 4. Variations of friction coefficient as a function of CNT addition during wear test.

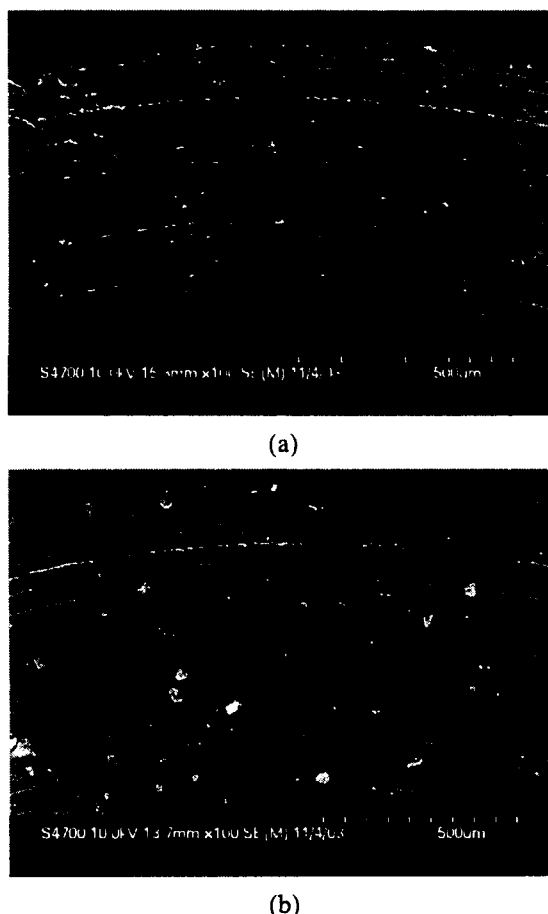


Fig. 5. SEM image of worn surface. (a) 0.1 wt%, (b) 0.5 wt% nano-diamond added.

또한 nano-diamond의 micro-Raman spectra를 Fig. 3에 나타내었다. 1326cm^{-1} 에서 비교적 좁은 형태의 Raman band는 size effect에 의해 single crystal diamond(1332cm^{-1})에 비해 낮은 쪽으로 이동된 것으로서 전형적인 nano-diamond 형태를 보이고 있다. 1600cm^{-1} 부근의 넓은 band는 graphitic peak으로서 sp^2 결합을 나타내는 층상 carbon 구조(onion-like)가 존재해 있음을 나타낸다.[11,12]

Nano-diamond의 첨가량을 변화시키면서 UHMWPE/nano-diamond 복합체를 합성하여 마모 마찰실험을 한 결과 마찰계수에 대한 그래프를 Fig. 4에 나타내었다. nano-diamond 가 첨가되지 않은 UHMWPE의 마찰계수는 대략 0.18이다. 전반적으로 함량에 따라 증가함을 알 수 있다.

Nano-diamond가 첨가량에 따른 마모면의 SEM image를 Fig. 5에 나타내었다. Wear track의 전체 폭은 nano-diamond 함량에 따른 차이를 보이지 않았으며, nano-diamond를 첨가한 시편들은 모두 얇고 고른 깊이의 wear track을 나타내나 첨가하지 않은 경우 불균일하게 좁고 깊은 wear track을 나타내었다.

Nano-diamond가 UHMWPE에 첨가됨에 따라 우수한 기계적 특성을 갖는 nano-diamond 가 UHMWPE의 표면에 많이 위치하여 이것이 마찰력을 약간 증가시켰으나 내마모 특성의 향상에 영향을 미친 것으로 생각된다.

Nano-diamond 첨가에 의한 복합체는 마모량 감소라는 측면과 비중이 여타 첨가제보다 낮다는 점에서 인공 이식체로서의 활용 가능성이 크다고 보여진다. 실제로 긴 수명이 요구되는 인공관절 분야에 활용되기 위해서는 나노 입자의 고분자 기지에로의 고른 분산 공정 확보와 마모 메카니즘 규명 및 장기간에 걸친 가속 실험 등의 지속적인 연구가 필요할 것으로 생각된다.

4. 결 론

UHMWPE과 nano-diamond 복합체의 기계적 특성을 알아보기 위해서 실험을 한 결과 다음과 같은 결론을 얻었다.

Detonation 방법에 의해 합성된 nano-diamond를 HRTEM, Raman으로 확인한 결과 그 직경은 약 5 - 10nm 임이 확인되었 다. Nano-diamond를 UHMWPE에 첨가하여 복합체를 제조하였고 이 복합체 시편에 대한 마모 실험을 한 결과 nano-diamond가 첨가됨에 따라 마찰계수는 증가하였고 내마모 특성은 향상되었음을 알 수 있었다. Nano-diamond 첨가에 의한 복합체는 인공관절분야 및 내마모 특성이 요구되어지는 부품에 응용 가능성이 있음을 알 수 있었다.

참 고 문 헌

- of medical grade ultra high molecular weight polyethylene: the effect of morphology, sterilization, aging and temperature," polymer, 41, 795-808 (2000)
5. A. chanda, A.K. Mukhopadhyay, D. Basu & S. Chatterjee, "Wear and friction behaviour of UHMWPE -Alumina combination for total hip replacement," Ceramics International, 23, 437-447 (1997)
 6. J.-P. Van Loon, G.J. Verkerke, L.G.M. de Bont, R.S.B. Liem, "Wear-testing og a temporomandibular joint prosthesis: UHMWPE and PTFE against a metal ball, in water and in serum," Biomaterials, 20, 1471-1478 (1999)
 7. D. Jalali-Vahid, M. Jagatia, Z.M. Jin, D. Dowson, "Prediction of lubricating film thickness in UHMWPE hip joint replacements," J. Biomechanics, 34, 261-266 (2001)
 8. A. Wang, A. Essner, C. Stark and J.H. Dumbleton, "Comparison of the size and morphology of UHMWPE wear debris produced by a hip joint simulator under serum and water lubricated conditions," Biomaterials, 17, 865-871 (1996)
 9. V Yu Dolmatov, "Detonation synthesis ultradispersed diamonds:properties and applications," Russian Chemical Reviews 70, 7 (2001)
 10. Xu Tao, Xu Kang, Zhao Jiazheng, "TEM and HREM studies on ultradispersed diamonds containing soot formed by explosive detonation," Materials Science and Engineering B38 L1-L4 (1996)
 11. E. D. Obraztsova, M. Fuji, S. Hayashi, V. L. Kuznetsov, Yu. V. Butenko, "Raman identification of onion-like carbon," Carbon

36, 5-6, 821-826 (1998)

12. S. Prawer, K. W. Nugent, D. N. Jamieson,
J. O. Orwa, L. A. Bursill, J. L. Peng, "The
raman spectrum of nanocrystalline diamond,"
Chemical physics letters 332, 93-97 (2000)